

CHẾ TẠO VẬT LIỆU NANOCOMPOSIT $ZnO@Cu_2O$ BẰNG PHƯƠNG PHÁP THỦY NHIỆT - CẤU TRÚC VÀ CÁC ĐẶC TÍNH CỦA VẬT LIỆU

FABRICATION OF $ZnO@Cu_2O$ NANOCOMPOSITE BY HYDROTHERMAL METHOD - STRUCTURE AND CHARACTERIZATION OF MATERIALS

Tạ Ngọc Dũng¹, Nguyễn Thị Tuyết Mai^{1,*},
Nguyễn Kim Ngà¹

DOI: <https://doi.org/10.57001/huih5804.98>

TÓM TẮT

Vật liệu nanocomposit $ZnO@Cu_2O$ (vật liệu nano Cu_2O pha tạp 50% ZnO theo số mol) và vật liệu so sánh nano Cu_2O đã được chế tạo bằng phương pháp thủy nhiệt. Các tính chất cấu trúc và đặc tính của vật liệu đã được khảo sát bằng các phương pháp đo vật lý bao gồm: XRD, SEM/EDX và UV-vis rắn. Kết quả khảo sát cho thấy, vật liệu nanocomposit $ZnO@Cu_2O$ chế tạo bao gồm hai pha tinh thể nano ZnO wurtzit và nano Cu_2O octahedra với tỷ lệ số mol ZnO pha tạp được vào vật liệu Cu_2O là ~42% mol (theo kết quả phổ EDX). Mẫu nanocomposit $ZnO@Cu_2O$ có kích thước tinh thể trung bình được xác định theo Debye Scherrer là 16,09nm nhỏ hơn so với kích thước tinh thể trung bình của mẫu so sánh nano Cu_2O (22,02nm). Thông số ô mạng tinh thể của mẫu nanocomposit $ZnO@Cu_2O$ và mẫu so sánh nano Cu_2O tính toán được là phù hợp với các tài liệu tham khảo. Năng lượng vùng cấm quang (E_g) của mẫu nanocomposit $ZnO@Cu_2O$ tính được theo phương trình Tauc là 2,65eV đạt giá trị nằm trung gian giữa giá trị E_g của ZnO đơn pha (~3,37eV) và Cu_2O đơn pha (~2,17eV) và vẫn đạt được giá trị E_g trong vùng kích thích được ánh sáng nhìn thấy.

Từ khóa: Nanocomposit $ZnO@Cu_2O$, hạt nano Cu_2O và ZnO , bức xạ ánh sáng nhìn thấy.

ABSTRACT

The $ZnO@Cu_2O$ nanocomposites (50 mol% ZnO doped Cu_2O nanomaterials) and Cu_2O comparative nanomaterials were fabricated by hydrothermal method. The structural properties and characterization of the materials were investigated by physical measurement methods including: XRD, SEM/EDX and solid UV-vis spectra. The results showed that, the $ZnO@Cu_2O$ nanocomposite consists of two crystals phase of ZnO wurtzite and Cu_2O octahedra with the molar ratio of ZnO doped into Cu_2O as ~42 mol% (according to EDX spectra results). The $ZnO@Cu_2O$ nanocomposite sample had an average crystal size determined according to Debye Scherrer of 16.09nm, which was smaller than the average crystal size of the Cu_2O comparative sample (22.02nm). The lattice parameters of the $ZnO@Cu_2O$ nanocomposite and the comparative Cu_2O nano sample were in agreement with the references. The optical bandgap energy (E_g) of the $ZnO@Cu_2O$ nanocomposite sample calculated by the Tauc equation was 2.65eV, reached an intermediate value between the E_g value of single-phase ZnO (~3.37eV) and single-phase Cu_2O (~2.17eV), and still achieved the E_g value in the visible light excitation region.

Keywords: $ZnO@Cu_2O$ nanocomposite, Cu_2O and ZnO nanoparticles, visible light radiation.

¹Viện Kỹ thuật Hóa học, Trường Đại học Bách khoa Hà Nội

*Email: mai.nguyenthituyet@hust.edu.vn

Ngày nhận bài: 05/10/2022

Ngày nhận bài sửa sau phân biện: 20/12/2022

Ngày chấp nhận đăng: 23/12/2022

1. GIỚI THIỆU

Vật liệu oxit đồng I (Cu_2O) đã được biết đến là chất bán dẫn loại p có năng lượng vùng cấm quang hẹp ($E_g \approx 2,0 - 2,2eV$), lợi thế cho việc sử dụng ánh sáng mặt trời so với các chất bán dẫn có vùng cấm quang rộng. Vật liệu Cu_2O sở hữu nhiều đặc tính có lợi là loại vật liệu có độc tính thấp, nguyên liệu đầu là đồng có sẵn tương đối nhiều trong tự nhiên, khả năng chấp nhận môi trường tốt, giá thành vật liệu thấp [1-2]. Cu_2O đã được nghiên cứu trong đa dạng các lĩnh vực ứng dụng như: pin mặt trời hiệu quả cao, quang điện, cảm biến khí, cảm biến sinh học, chất xúc tác, thuốc diệt nấm mốc, tác nhân kháng khuẩn,... [3-6]. Tuy nhiên, vật liệu Cu_2O có nhược điểm là đối với những ứng dụng cần kích thích của ánh sáng thì tốc độ tách và sự tái kết hợp cặp điện tử - lỗ trống tương đối nhanh chóng, làm giảm đi hiệu suất làm việc của vật liệu. Nhiều nghiên cứu đã đưa ra việc chế tạo vật liệu nanocomposit (hay vật liệu ghép) Cu_2O với một vật liệu bán dẫn có vùng cấm rộng khác như TiO_2 , CeO_2 hay ZnO ,... [7-12] để có sự kết hợp hỗ trợ được các tính chất của vật liệu nanocomposit, làm tăng khả năng tách và giảm tốc độ tái kết hợp của cặp điện tử - lỗ trống quang sinh, dẫn đến làm tăng hiệu quả ứng dụng của vật liệu nanocomposit so với vật liệu khi ở dạng đơn pha Cu_2O hay ZnO [1, 4, 9-13]. Tuy vậy, các nghiên cứu hiện tại về

loại vật liệu nanocomposit này vẫn còn đang rất cần thiết để có được sự nghiên cứu thống kê đầy đủ.

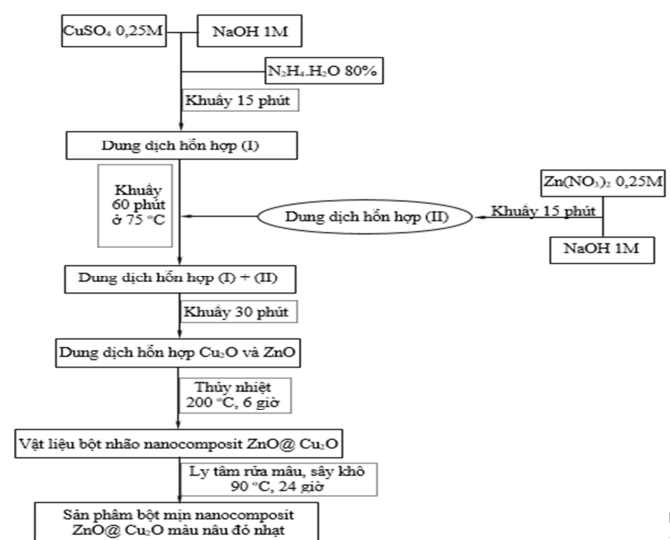
Trong nghiên cứu này, chúng tôi trình bày về chế tạo vật liệu nanocomposit ZnO@Cu₂O (vật liệu nano Cu₂O pha tạp 50% ZnO) bằng phương pháp thủy nhiệt đơn giản và khảo sát tính chất cấu trúc và các đặc tính của vật liệu nanocomposit (hay vật liệu ghép) này.

2. THỰC NGHIỆM

2.1. Hóa chất

Hóa chất sử dụng trong nghiên cứu gồm: Kẽm nitrat (Zn(NO₃)₂.6H₂O ≥ 98%, AR-China); đồng Sunphat (CuSO₄.5H₂O 99,8%, AR-Trung Quốc); hydrazin hydrat (N₂H₄.H₂O 80%, AR-China); natri hydroxyt (NaOH ≥ 98%, AR-China); nước cất 2 lần.

2.2. Thực nghiệm chế tạo vật liệu



Hình 1. Quy trình chế tạo mẫu vật liệu nanocomposit ZnO@Cu₂O

Dung dịch hỗn hợp (I) gồm 100ml dung dịch CuSO₄ 0,25M, 40ml dung dịch NaOH 1M và 10ml dung dịch N₂H₄.H₂O 80% được khuấy trộn đồng đều trên máy khuấy từ trong 60 phút ở nhiệt độ 75°C. Dung dịch hỗn hợp (II) gồm 100ml dung dịch Zn(NO₃)₂ 0,25M và 50ml NaOH 1M được trộn lẫn đồng đều trên máy khuấy từ trong 15 phút. Tiếp theo, nhỏ từ từ dung dịch (II) vào dung dịch (I) và tiếp tục cho dung dịch hỗn hợp khuấy đều trên máy khuấy từ trong 30 phút. Sau đó, dung dịch hỗn hợp này được cho vào autoclave đặt ở chế độ thủy nhiệt 200°C trong 6 giờ. Bột nhão thu được sau thủy nhiệt được ly tâm rửa sạch với 5 lần nước cất, rồi đem sấy khô ở 90°C trong 24 giờ. Mẫu sản phẩm thu được là bột mịn có màu nâu đỏ hơi nhạt Cu₂O pha tạp ZnO (pha tạp theo tỷ số mol Cu²⁺:Zn²⁺=1:0,5, tức là ZnO được pha tạp thêm vào vật liệu Cu₂O với số mol là 50% mol so với số mol của Cu²⁺ trong dung dịch ban đầu), ký hiệu mẫu là ZnO@Cu₂O. Một mẫu so sánh Cu₂O không pha tạp ZnO được chế tạo theo quy trình hoàn toàn tương tự như trên nhưng không có thêm dung dịch (II), được sử dụng trong nghiên cứu để làm mẫu so sánh. Quy

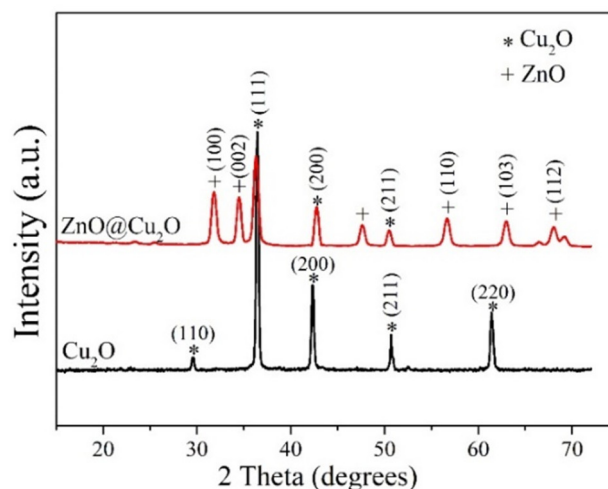
trình chế tạo mẫu vật liệu nanocomposit ZnO@Cu₂O được thể hiện trên hình 1.

Các phương pháp nghiên cứu đặc tính của vật liệu: Phương pháp nhiễu xạ tia X (XRD, X'pert Pro (PANalytical), tia bức xạ Cu-K α ($\lambda = 1,54065\text{\AA}$), tốc độ quét 0,03°/2s, góc quét 2 $\theta \approx 25 - 75^\circ$); phương pháp hiển vi điện tử quét (SEM, HITACHI TM4000 Plus); phương pháp phổ tán xạ năng lượng tia X (EDX, Oxford 300); phương pháp phổ hấp thụ UV-Vis rắn (Jasco V-750) sử dụng quả cầu tích hợp 60mm (ISV-922), tốc độ quét 200nm/min.

3. KẾT QUẢ THỰC NGHIỆM

3.1. Đặc tính cấu trúc vật liệu

Hình 2 là phổ nhiễu xạ tia X (XRD) của các mẫu vật liệu chế tạo ZnO@Cu₂O và mẫu so sánh Cu₂O. Trên hình phổ XRD cho thấy, mẫu vật liệu Cu₂O có các đỉnh phổ nhiễu xạ ở vào các vị trí góc nhiễu xạ 2 θ lần lượt là 29,6°, 36,5°, 42,4°, 50,6° và 61,6° tương ứng với các họ mặt mạng tinh thể (110), (111), (200), (211) và (220) của tinh thể Cu₂O bát diện (octahedra). Mẫu vật liệu chế tạo ZnO@Cu₂O có các đỉnh phổ nhiễu xạ ở các vị trí góc nhiễu xạ 2 $\theta \approx 36,5^\circ, 42,4^\circ, 50,6^\circ$ tương ứng với các họ mặt mạng (111), (200) và (211) của tinh thể Cu₂O bát diện (octahedra) [1-3,8,12]. Ở mẫu ZnO@Cu₂O thì các đỉnh phổ ở vị trí 2 $\theta \approx 29,6^\circ$ và 61,6° tương ứng với các họ mặt mạng (110) và (220) của tinh thể Cu₂O là không xuất hiện.



Hình 2. Phổ XRD của các mẫu nanocomposit ZnO@Cu₂O và mẫu so sánh nano Cu₂O

Điều này cho thấy có thể là do có sự pha tạp ZnO đã làm ngăn cản sự phát triển tinh thể Cu₂O theo hướng mặt tinh thể (110) và (220). Mặt khác, trên hình phổ XRD cho thấy mẫu vật liệu ZnO@Cu₂O xuất hiện thêm các đỉnh phổ nhiễu xạ ở vị trí góc nhiễu xạ 2 $\theta \approx 31,5^\circ, 34,2^\circ, 47,3^\circ, 56,4^\circ, 62,6^\circ$ và 67,7° tương ứng với các họ mặt mạng (100), (002), (102), (110), (103) và (112) của tinh thể ZnO wurtzit [7, 10, 12, 13]. Điều này cho thấy, vật liệu chế tạo ZnO@Cu₂O đã có sự phát triển của hai pha tinh thể Cu₂O và ZnO. Ngoài ra, trên phổ XRD của hai mẫu vật liệu chế tạo ZnO@Cu₂O và mẫu Cu₂O không thấy xuất hiện đỉnh phổ tạp lạ khác. Như vậy, mẫu vật

liệu Cu₂O chỉ có đơn pha tinh thể Cu₂O, mẫu vật liệu ZnO@Cu₂O là có sự ghép của hai pha tinh thể ZnO và Cu₂O [9-12]. Áp dụng phương trình phương trình Debye Scherrer $D = K\lambda/\beta\cos\theta$ [3, 4, 10, 12] xác định được kích thước tinh thể trung bình của các mẫu vật liệu chế tạo ZnO@Cu₂O và Cu₂O (trong đó, D là kích thước hạt tinh thể, K là hệ số phụ thuộc vào hình dạng của tinh thể, $K = 0,9$; λ là bước sóng nhiễu xạ với $\lambda = 1,54056\text{\AA}$; β là độ bán mở rộng vạch của đỉnh phổ nhiễu xạ lớn nhất (FWHM), θ là góc nhiễu xạ ở vị trí mặt nhiễu xạ (111)). Thông số ô mạng tinh thể của mẫu vật liệu ZnO@Cu₂O được tính cho hai loại tinh thể ZnO và Cu₂O của vật liệu. Mẫu Cu₂O được xác định thông số ô mạng tương ứng của tinh thể Cu₂O. Thông số ô mạng của tinh thể Cu₂O có cấu trúc tinh thể bát diện (octahedra), nhóm không gian Pn3m được xác định theo phương trình: $1/d_{(hkl)}^2 = (h^2 + k^2 + l^2)/a^2$ đối với pic nhiễu xạ của họ mặt mạng (111) (trong đó, giá trị $d_{(hkl)}$ được xác định theo định luật phản xạ Bragg $d_{(hkl)} = \lambda/2n\sin\theta$; hkl là chỉ số mặt phẳng tinh thể; a là thông số ô mạng tinh thể [3, 10, 12]. Thông số ô mạng của tinh thể ZnO cấu trúc wurtzit lục giác, nhóm không gian P63mc có các thông số $a = b \neq c$ được xác định theo phương trình $1/d_{(hkl)}^2 = (h^2 + k^2)/a^2 + l^2/c^2$ [10,12]: đối với 2 mặt mạng tinh thể (100) và (002) (tương ứng với mặt mạng $(h_1k_1l_1)$ có khoảng cách mặt mạng $d_{(h_1k_1l_1)}$ và mặt mạng $(h_2k_2l_2)$ có khoảng cách mặt mạng $d_{(h_2k_2l_2)}$), giá trị $d_{(hkl)}$ được xác định theo phương trình $\lambda = 2d_{(hkl)}\sin\theta$. Kết quả về kích thước tinh thể trung bình và thông số ô mạng tinh thể của các mẫu vật liệu nanocomposit ZnO@Cu₂O và nano Cu₂O được thể hiện ở bảng 1. Theo kết quả ở Bảng 1 cho thấy, mẫu vật liệu ZnO@Cu₂O (mẫu có sự pha tạp thêm 50% mol ZnO vào Cu₂O) đạt được kích thước tinh thể trung bình nhỏ hơn so với mẫu Cu₂O không pha tạp. Điều này có thể được giải thích là do khi có sự pha tạp thêm một số lượng mol nhất định của ZnO vào vật liệu Cu₂O thì đã có sự tương tác ngăn cản lẫn nhau của hai pha tinh thể ZnO và Cu₂O, làm ngăn cản sự phát triển lớn lên của mỗi loại tinh thể ZnO và Cu₂O trong vật liệu nanocomposit ZnO@Cu₂O [11, 12]. Kết quả tính toán thông số ô mạng tinh thể của các mẫu nanocomposit ZnO@Cu₂O và nano Cu₂O cho thấy là phù hợp với kết quả của các tài liệu tham khảo [3, 10, 12, 13].

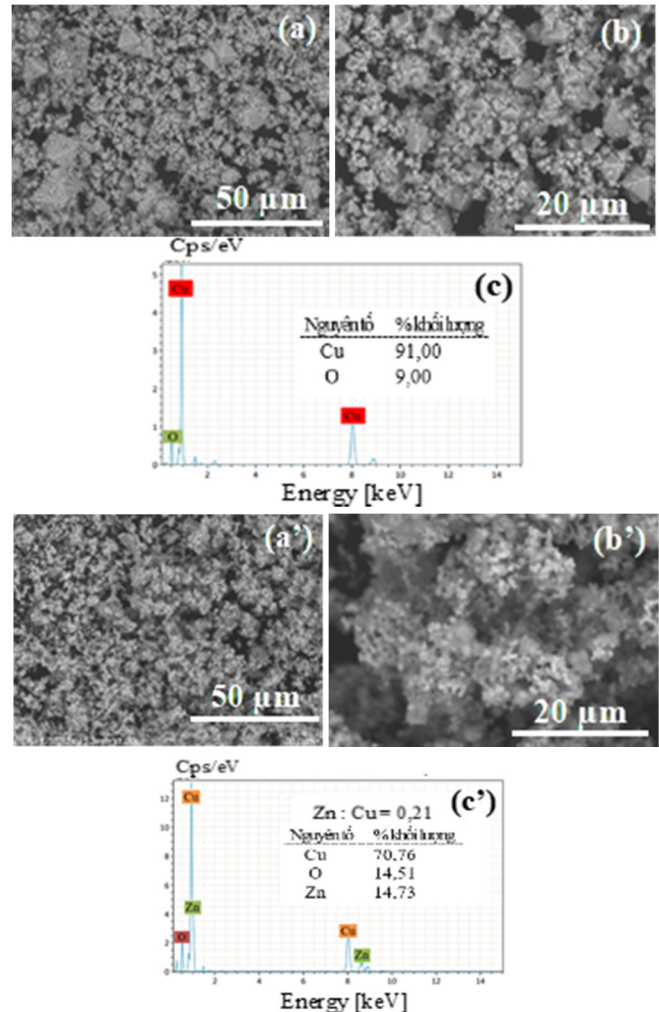
Bảng 1. Kích thước tinh thể trung bình, thông số ô mạng của các mẫu ZnO@Cu₂O và Cu₂O

Mẫu vật liệu		Kích thước hạt tinh thể, D (nm)	Thông số ô mạng tinh thể, a, b, c (Å), V (Å ³)	
nanocomposit ZnO@Cu ₂ O	ZnO	16,09	a=b= 3,245 c= 5,201	47,428
	Cu ₂ O		a=b=c= 4,207	74,459
nano Cu ₂ O	Cu ₂ O	22,02	a=b=c= 4,228	75,580

3.2. Hình thái học bề mặt vật liệu

Hình 3(a,b,a',b') theo thứ tự là hình hiển vi điện tử quét (SEM) của các mẫu vật liệu nano Cu₂O và nanocomposit ZnO@Cu₂O ở các kích thước đo 5µm, 2µm. Hình 3(c,c') theo thứ tự là phổ tán xạ năng lượng tia X (EDX) của các mẫu nano Cu₂O và nanocomposit ZnO@Cu₂O. Trên hình SEM

của mẫu nano Cu₂O (hình 3a, 3a') cho thấy các hạt tinh thể nhỏ được sắp xếp khít nhau tạo thành hạt tinh thể lớn hơn và được sắp xếp theo dạng hình bát diện (octahedra). Kích thước trung bình của hạt tinh thể Cu₂O cỡ khoảng 300 - 1µm. Trên hình SEM của mẫu nanocomposit ZnO@Cu₂O cho thấy cấu trúc tinh thể sắp xếp hình bát diện (octahedra) của Cu₂O bị phá vỡ và thay vào đó là các hạt tinh thể nhỏ được phân bố đồng đều và có độ bóng xấp xỉ trên bề mặt vật liệu nanocomposit ZnO@Cu₂O. Kích thước trung bình của hạt tinh thể nanocomposit ZnO@Cu₂O cỡ ~100 - 200nm.



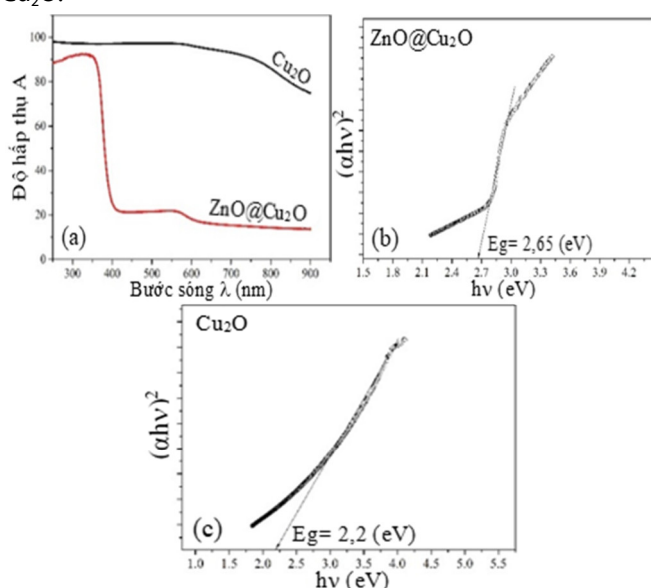
Hình 3. Hình vi điện tử quét (SEM) của mẫu vật liệu nano Cu₂O ở kích thước 5µm (a), 2µm (b), phổ tán xạ năng lượng tia X (EDX) của mẫu nano Cu₂O (c); hiển vi điện tử quét (SEM) của mẫu nanocomposit ZnO@Cu₂O ở kích thước 5µm (a'), 2µm (b'), phổ tán xạ năng lượng tia X (EDX) của mẫu nanocomposit ZnO@Cu₂O (c')

Trên hình phổ EDX của mẫu nano Cu₂O (hình 3c) cho thấy chỉ có xuất hiện các pic của các nguyên tố Cu, O. Trên hình phổ EDX của mẫu ZnO@Cu₂O (hình 3c') cho thấy là ngoài các pic của các nguyên tố Cu, O thì còn xuất hiện thêm pic của nguyên tố Zn. Thành phần và hàm lượng các nguyên tố của mẫu nano Cu₂O cho thấy lượng đồng xấp xỉ gấp đôi lượng oxi, số liệu này phù hợp với các tài liệu tham khảo [4, 10 -12]. Mẫu nanocomposit ZnO@Cu₂O cho thấy là hàm lượng của nguyên tố Zn chiếm ~21% so với hàm lượng

nguyên tố Cu, tính ra hàm lượng %mol của ZnO cỡ khoảng ~42% so với số mol của Cu₂O trong mẫu vật liệu. Hàm lượng ZnO pha tạp vào Cu₂O là có bị thất thoát ~8% so với hàm lượng đưa vào dung dịch hỗn hợp chế tạo vật liệu ban đầu. Như vậy, có thể thấy là mẫu nano Cu₂O có đủ thành phần nguyên tố của pha đơn tinh thể Cu₂O. Mẫu nanocomposit ZnO@Cu₂O có đủ thành phần nguyên tố của hai pha đơn tinh thể ZnO và Cu₂O [4, 7, 10-12].

3.3. Phổ hấp thụ UV-vis

Hình 4(a,b,c) theo thứ tự là phổ hấp thụ UV-vis của mẫu vật liệu nanocomposit ZnO@Cu₂O và nano Cu₂O, đồ thị biểu thị sự phụ thuộc hàm "Tauc" $(\alpha h\nu)^2$ với năng lượng $h\nu$ của mẫu nanocomposit ZnO@Cu₂O và đồ thị phụ thuộc hàm "Tauc" $(\alpha h\nu)^2$ với năng lượng $h\nu$ của mẫu nano Cu₂O.



Hình 4. a- Phổ hấp thụ UV-vis của các mẫu nanocomposit ZnO@Cu₂O và mẫu so sánh nano Cu₂O; b- đồ thị phụ thuộc hàm Tauc $(\alpha h\nu)^2 - h\nu$ của mẫu ZnO@Cu₂O; c- đồ thị phụ thuộc hàm Tauc $(\alpha h\nu)^2 - h\nu$ của mẫu so sánh Cu₂O

Theo hình phổ hấp thụ UV-vis của các mẫu vật liệu (hình 4a) cho thấy, mẫu nano Cu₂O có bờ hấp thụ mở rộng từ vùng ánh sáng tử ngoại gần đến vùng ánh sáng nhìn thấy $\lambda \approx 300 - 850\text{nm}$. Ở vùng bước sóng dài $\lambda \geq 750\text{nm}$ thì bờ hấp thụ của mẫu nano Cu₂O mới bắt đầu giảm xuống. Mẫu nanocomposit ZnO@Cu₂O có bờ hấp thụ mở rộng ở vùng bước sóng ngắn hơn (nhích một chút sang vùng ánh sáng nhìn thấy) $\lambda \leq 400\text{nm}$. Ngoài ra, mẫu nanocomposit ZnO@Cu₂O cho thấy là có thêm một bờ hấp thụ nhỏ nữa mở rộng ở vùng bước sóng ánh sáng nhìn thấy với $\lambda \approx 550 - 600\text{nm}$. Trên đồ thị phụ thuộc hàm "Tauc" $(\alpha h\nu)^2$ với năng lượng $h\nu$ của mẫu vật liệu nanocomposit ZnO@Cu₂O và mẫu nano Cu₂O (hình 4b, 4c), xác định được năng lượng vùng cấm quang của các mẫu vật liệu theo thứ tự là $E_g \approx 2,65\text{eV}$ và $2,2\text{eV}$. Giá trị năng lượng vùng cấm quang theo tính toán $E_g \approx 2,65\text{eV}$ của mẫu vật liệu nanocomposit ZnO@Cu₂O cho thấy là có sự giảm hơn so với vật liệu đơn pha ZnO ($E_{g\text{ZnO}} \approx 3,37\text{eV}$ [12-13]) và lớn hơn so với vật liệu

đơn pha Cu₂O ($E_{g\text{Cu}_2\text{O}} \approx 2,17\text{eV}$ [1-4]). Điều này cho thấy là đã có sự tương tác của hai pha tinh thể ZnO và Cu₂O để làm thay đổi năng lượng vùng cấm quang của vật liệu nanocomposit ZnO@Cu₂O. Sự thay đổi năng lượng vùng cấm quang để đạt giá trị trung gian giữa hai loại vật liệu cũng đang là điều mong muốn trong các nghiên cứu chế tạo vật liệu nanocomposit (hay vật liệu ghép), để từ đó có thể làm cải thiện được một số tính chất phù hợp với lĩnh vực ứng dụng cho loại vật liệu nanocomposit [9-12].

4. KẾT LUẬN

Vật liệu nanocomposit ZnO@Cu₂O (vật liệu nano Cu₂O pha tạp 50% ZnO) đã được chế tạo thành công theo phương pháp thủy nhiệt đơn giản. Vật liệu chế tạo bao gồm 2 pha tinh thể nano ZnO wurtzit và nano Cu₂O octahedra với tỷ lệ số mol ZnO pha tạp được vào vật liệu Cu₂O là ~42% mol (theo kết quả phổ EDX). Số lượng mol ZnO pha tạp bị thất thoát nhưng không đáng kể so với số lượng mol ZnO pha tạp được đưa vào hỗn hợp dung dịch ban đầu. Kích thước tinh thể trung bình của mẫu nanocomposit ZnO@Cu₂O là 16,09nm nhỏ hơn so với mẫu so sánh nano Cu₂O (22,02nm). Thông số ô mạng tinh thể của hai pha tinh thể ZnO wurtzit và Cu₂O octahedra trong mẫu ZnO@Cu₂O và thông số ô mạng của mẫu so sánh Cu₂O tính được là phù hợp với các tài liệu tham khảo. Năng lượng vùng cấm quang (E_g) của mẫu nanocomposit ZnO@Cu₂O tính được theo phương trình Tauc là 2,65eV, giá trị E_g này nằm trung gian giữa giá trị E_g của ZnO đơn pha (3,37eV) và Cu₂O đơn pha (2,17eV). Giá trị E_g của mẫu so sánh tính được là 2,2eV. Như vậy, vật liệu nanocomposit ZnO@Cu₂O đã làm hẹp được năng lượng vùng cấm quang so với năng lượng vùng cấm quang rộng của ZnO và lớn hơn năng lượng vùng cấm quang của Cu₂O.

TÀI LIỆU THAM KHẢO

- [1]. S.S. Sawant, A.D. Bhagwat, C.M. Mahajan, 2016. *Synthesis of Cuprous Oxide (Cu₂O) Nanoparticles - a Review*. Journal of Nano- and Electronic Physics, 8(1), 01035(5pp).
- [2]. P. He, X. Shen, H. Gao, 2005. *Size-controlled preparation of Cu₂O octahedron nanocrystals and studies on their optical absorption*. Journal of Colloid and Interface Science, 284, 510-515.
- [3]. M.A. Khan, M. Ullah, T. Iqbal, H. Mahmood, A.A. Khan, M. Shafique, A. Majid, A. Ahmed, N.A. Khan, 2015. *Surfactant Assisted Synthesis of Cuprous Oxide (Cu₂O) Nanoparticles via Solvothermal Process*. Nanoscience and Nanotechnology Research, 3(1), 16-22.
- [4]. M.M. Elmahdy, A. El-Shaer, 2019. *Structural, optical and dielectric investigations of electrodeposited p-type Cu₂O*. Journal of Materials Science: Materials in Electronics, 1-12.
- [5]. Y. Gao, Q. Wu, X. Liang, Z. Wang, Z. Zheng, P. Wang, Y. Liu, Y. Dai, M. H. Whangbo, B. Huang, 2020. *Cu₂O Nanoparticles with Both {100} and {111} Facets for Enhancing the Selectivity and Activity of CO₂ Electroreduction to Ethylene*. Advanced Sci., 1902820, 1-7.

- [6]. S. Rasheeda, Z. Batoob, A. Intisarc, S. Riazd, M. Shaheena, R. Kousar, 2021. *Enhanced photodegradation activity of cuprous oxide nanoparticles towards Congo red for water purification*. *Desalination and Water Treatment*, 227, 330-337.
- [7]. X. Wang, D. Liu, J. Li, J. Zhen, H. Zhang, 2015. *Clean synthesis of $Cu_2O@CeO_2$ core@shell nanocubes with highly active interface*. *NPG Asia Materials*. 7(e158), 1-7.
- [8]. S. Wang, B. Kavaipatti, S.J. Kim, X. Pan, R. Ramesh, J.W. Ager, L.W. Wang, 2014. *Atomic and electronic structures of lattice mismatched Cu_2O/TiO_2 interfaces*. *Applied Physics Letters*. 104, 211605.
- [9]. R.C. Wang, H.Y. Lin, 2010. *Simple fabrication and improved photoresponse of ZnO-Cu₂O core-shell heterojunction nanorod arrays*. *Sensors and Actuators B*, 149, 94-97.
- [10]. O.I. Gyrdasova, E.V. Shalaeva, V.N. Krasil'nikov, L.Y. Buldakova, I.V. Baklanova, M.A. Melkozerova, M.V. Kuznetsov, M.Y. Yanchenko, 2021. *Effect of Cu^+ ions on the structure, morphology, optical and photocatalytic properties of nanostructured ZnO*. *Materials Characterization*, 179, 111384(1-12).
- [11]. A. Abdolhoseinzadeh, S. Sheibani, 2019. *Enhanced photocatalytic performance of Cu_2O nano-photocatalyst powder modified by ball milling and ZnO*. *Advanced Powder Technology*, 1-11.
- [12]. E.C. Jacobsen, 2015. *Analysis of the ZnO/ Cu_2O Thin Film Heterojunction for Intermediate Band Solar Cell Applications*. *Norwegian University of Science and Technology*, 1-97.
- [13]. A.K. Zak, R. Razali, W.H.A. Majid, M. Darroudi, 2011. *Synthesis and characterization of a narrow size distribution of zinc oxide nanoparticles*. *International Journal of Nanomedicine*, 6, 1399-1403.

AUTHORS INFORMATION

Ta Ngoc Dung, Nguyen Thi Tuyet Mai, Nguyen Kim Nga

School of Chemical Engineering, Hanoi University of Science and Technology